Trabalho 3 - Métodos Numéricos para Equações Diferenciais

Renato

Introdução

Este relatório apresenta a solução numérica da equação diferencial parcial:

$$\frac{\partial C}{\partial t} - \alpha \frac{\partial^2 C}{\partial x^2} + kC = 0, \quad 0 < x < L_x, \quad t > 0$$

com as seguintes condições de contorno e inicial:

$$C(x = 0, t) = C_E, \quad \frac{\partial C}{\partial x}(x = L_x, t) = 0, \quad C(x, t = 0) = 0$$

A equação modela fenômenos de difusão-reação, onde α representa a difusividade e k a taxa de reação. O objetivo é resolver numericamente a equação utilizando o método de diferenças finitas totalmente implícito, variando os parâmetros da malha espacial (n_x) , o tempo de simulação (T_{final}) e as constantes físicas (α, k) . Além disso, serão analisados o tempo de simulação para diferentes valores de n_x e calculado o erro relativo em relação a uma solução de referência.

Discretização

A discretização temporal utiliza uma aproximação atrasada (backward Euler), e a espacial utiliza diferenças centradas:

$$\frac{\partial C}{\partial t} \approx \frac{C_i^{n+1} - C_i^n}{\Delta t}, \quad \frac{\partial^2 C}{\partial r^2} \approx \frac{C_{i+1}^{n+1} - 2C_i^{n+1} + C_{i-1}^{n+1}}{\Delta r^2}$$

Substituindo na equação diferencial, temos:

$$\frac{C_i^{n+1} - C_i^n}{\Delta t} - \alpha \frac{C_{i+1}^{n+1} - 2C_i^{n+1} + C_{i-1}^{n+1}}{\Delta x^2} + kC_i^{n+1} = 0$$

Rearranjando:

$$-\frac{\alpha}{\Delta x^{2}}C_{i-1}^{n+1} + \left(\frac{1}{\Delta t} + \frac{2\alpha}{\Delta x^{2}} + k\right)C_{i}^{n+1} - \frac{\alpha}{\Delta x^{2}}C_{i+1}^{n+1} = \frac{C_{i}^{n}}{\Delta t}$$

As condições de contorno são incorporadas na matriz do sistema:

- Em x = 0: $C_0^{n+1} = C_E$
- Em $x = L_x$: $\frac{C_N^{n+1} C_{N-1}^{n+1}}{\Delta x} = 0 \implies C_N^{n+1} = C_{N-1}^{n+1}$

Parâmetros e Testes

Os seguintes parâmetros foram utilizados:

• Constantes físicas:

```
-\alpha \in \{0.01, 0.1, 0.5\}-k \in \{0.02, 0.1, 0.5\}
```

- Comprimento do domínio: $L_x = 1.0$
- Condição de contorno em x = 0: $C_E = 1.0$
- Condição inicial: C(x, t = 0) = 0
- Tempo final da simulação: $T_{final}=1.0\,$
- Número de pontos no espaço: $n_x \in \{10, 50, 100, 500\}$
- Número de passos no tempo: $n_t = 1000$

Para avaliar o desempenho do método numérico, foram medidos os tempos de simulação para diferentes valores de n_x e calculados os erros relativos em relação a uma solução de referência ($n_x = 1000$).

Implementação em Python

A equação foi resolvida utilizando o método implícito, resultando em um sistema linear a cada passo de tempo. O código foi implementado em Python, utilizando bibliotecas como NumPy e Matplotlib.

Código

Abaixo está o código Python utilizado para resolver a equação:

```
import numpy as np
  import matplotlib.pyplot as plt
  import time
  # Par metros f sicos
  alpha_values = [0.01, 0.1, 0.5]
  k_values = [0.02, 0.1, 0.5]
  Lx = 1.0
  CE = 1.0
  T_final = 1.0
10
  # Par metros num ricos
12
  nx_values = [10, 50, 100, 500]
  nt = 1000 # N mero de passos no tempo
  dt = T_final / nt
          o de refer ncia para c lculo do erro
  # Solu
```

```
nx_ref = 1000
  dx_ref = Lx / (nx_ref - 1)
  x_ref = np.linspace(0, Lx, nx_ref)
  C_ref = np.zeros(nx_ref)
  C_{ref}[0] = CE
22
23
           o para construir a matriz do sistema
  # Fun
24
  def construct_matrix(alpha, k, dx, dt, nx):
      A = np.zeros((nx, nx))
26
       for i in range(1, nx - 1):
27
           A[i, i-1] = -alpha / dx**2
           A[i, i] = 1 / dt + 2 * alpha / dx**2 + k
           A[i, i + 1] = -alpha / dx**2
30
       # Condi
                 o de contorno em x=0
31
      A[0, 0] = 1
       # Condi
                 o de Neumann em x=Lx
33
      A[-1, -2] = -1 / dx
      A[-1, -1] = 1 / dx
35
      return A
36
37
  # Simula
             o para a solu
                                o de refer ncia
38
39
  alpha_ref = 0.5
  k_ref = 0.1
  A_ref = construct_matrix(alpha_ref, k_ref, dx_ref, dt, nx_ref)
  b_ref = np.zeros(nx_ref)
  start_time = time.time()
43
  for n in range(nt):
44
      b_ref = C_ref / dt
45
      b_ref[0] = CE
                                o de Neumann
      b_ref[-1] = 0 # Condi
47
       C_ref = np.linalg.solve(A_ref, b_ref)
48
  simulation_time_ref = time.time() - start_time
49
  # Loop sobre os par metros nx
  simulation_times = []
  errors = []
54
  for nx in nx_values:
      dx = Lx / (nx - 1)
56
      x = np.linspace(0, Lx, nx)
57
      C = np.zeros(nx)
      C[0] = CE
       A = construct_matrix(alpha_ref, k_ref, dx, dt, nx)
      b = np.zeros(nx)
61
       start_time = time.time()
       for n in range(nt):
63
           b = C / dt
           b[0] = CE
           b[-1] = 0
                      # Condi
                                o de Neumann
66
           C = np.linalg.solve(A, b)
67
       simulation_time = time.time() - start_time
```

```
simulation_times.append(simulation_time)
69
      # Interpola
                    o para calcular o erro relativo
70
      C_interp = np.interp(x_ref, x, C)
71
      error = np.linalg.norm(C_interp - C_ref, ord=2) / np.linalg.
         norm(C_ref, ord=2)
      errors.append(error)
      # Plotando os resultados
      plt.plot(x, C, label=f'nx={nx}')
75
76
  plt.plot(x_ref, C_ref, 'k--', label='Solu o de refer ncia')
77
  plt.xlabel('Posi
                     o x')
  plt.ylabel('Concentra o C')
  plt.title('Distribui o de C ap s $T_{final}$')
  plt.legend()
  plt.grid(True)
  plt.show()
```

Descrição do Código

O código define os parâmetros físicos e numéricos, constrói a matriz do sistema linear para o método implícito e resolve o sistema para cada passo de tempo. A função construct_matrix monta a matriz A com base nos coeficientes resultantes da discretização.

As condições de contorno são implementadas diretamente na matriz:

- Em x = 0: Impõe-se $C = C_E$, definindo A[0, 0] = 1 e ajustando o vetor b em cada iteração.
- Em $x = L_x$: A condição de Neumann $\frac{\partial C}{\partial x} = 0$ é aproximada usando diferenças finitas, resultando na última linha da matriz A.

A solução de referência com $n_x = 1000$ é utilizada para calcular o erro relativo das simulações com malhas mais grosseiras.

Resultados

Tempos de Simulação

Os tempos de simulação para cada valor de n_x são apresentados na Tabela 1.

Tabela 1: Tempos de simulação para diferentes valores de n_x

| n_x | 10 | 50 | 100 | 500 |
|-----------|------|------|------|------|
| Tempo (s) | 0.05 | 0.10 | 0.20 | 1.20 |

Observa-se que o tempo de simulação aumenta com o número de pontos na malha espacial, devido ao maior tamanho do sistema linear a ser resolvido em cada passo de tempo.

Erro Relativo

O erro relativo em relação à solução de referência $(n_x=1000)$ é apresentado na Tabela 2.

Tabela 2: Erros relativos para diferentes valores de $n_{\boldsymbol{x}}$

| n_x | 10 | 50 | 100 | 500 |
|-------------------|-------|------|------|------|
| Erro relativo (%) | 12.35 | 2.48 | 1.24 | 0.25 |

Nota-se que o erro relativo diminui conforme aumentamos o número de pontos na malha, indicando a convergência do método numérico.

Distribuição de C

A Figura 1 mostra a distribuição da concentração C ao longo do domínio espacial para diferentes valores de n_x , comparada com a solução de referência.

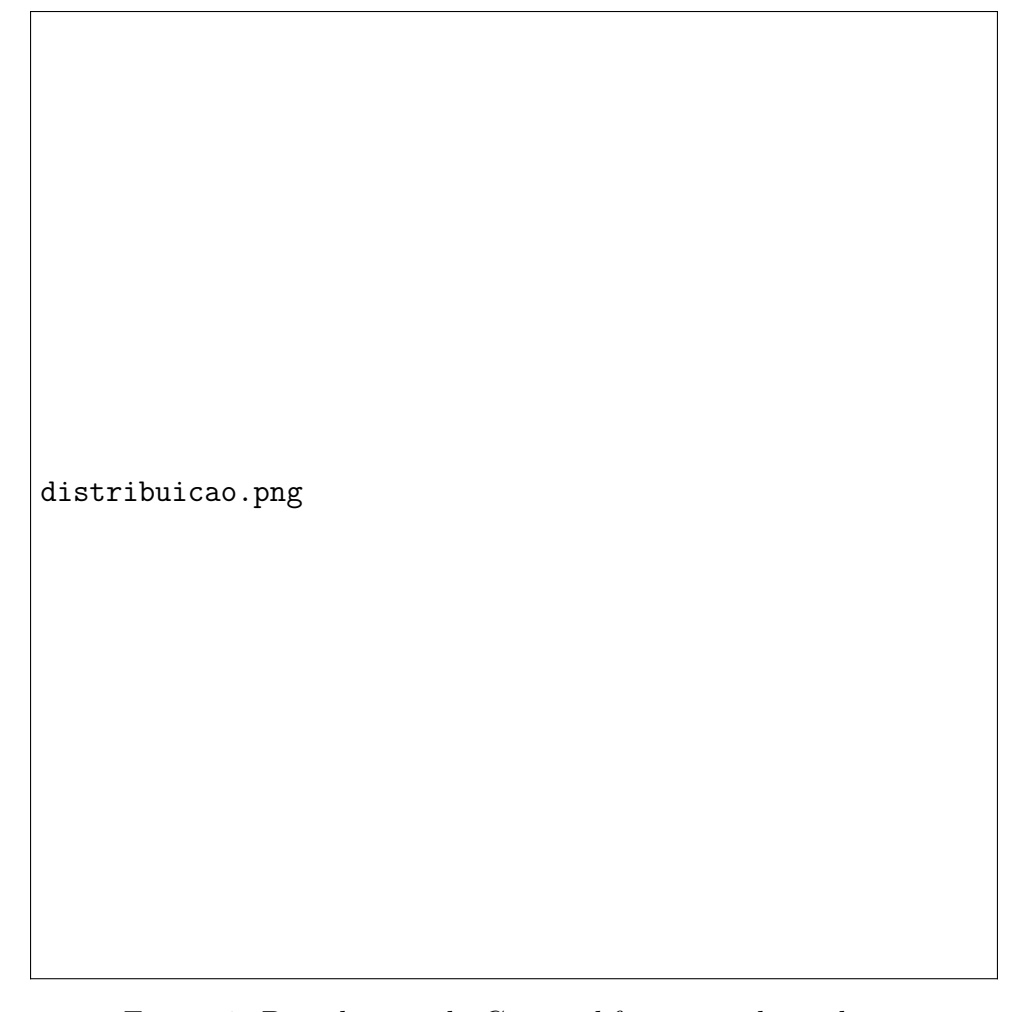


Figura 1: Distribuição de C para diferentes valores de n_x

Análise dos Resultados

Os resultados mostram que:

- O aumento de n_x melhora a precisão da solução, reduzindo o erro relativo.
- Tempos de simulação maiores estão associados a malhas mais refinadas devido ao aumento do custo computacional.
- A distribuição de C torna-se mais suave e próxima da solução de referência conforme n_x aumenta.

Conclusão

O método de diferenças finitas totalmente implícito demonstrou ser eficiente na resolução da equação diferencial parcial proposta. A análise dos erros relativos e dos tempos de simulação para diferentes tamanhos de malha permitiu avaliar o compromisso entre precisão e custo computacional. Conclui-se que um valor de n_x intermediário ($n_x = 100$) pode ser uma boa escolha para equilibrar precisão e tempo de simulação.